

9-ая международная Школа-семинар «Спутниковые методы и системы исследования Земли»

Вариационная ассимиляция данных об уровне в модели гидротермодинамики Балтийского моря, основанной на методе расщепления

Шелопут Т.О.¹

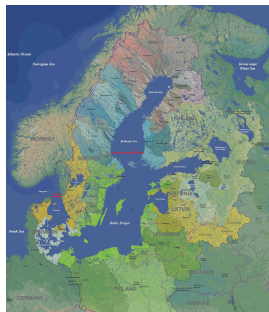
¹*Институт вычислительной математики РАН*

г. Москва, 13 апреля 2018 г.

- Система уравнений модели и метод расщепления.
- Постановка задачи ассимиляции и метод ее исследования.
- Данные наблюдений и проблема практической реализации алгоритма.
- Результаты численных экспериментов.

Введение

- Региональные модели гидротермодинамики могут разрешать масштабы 1-10км, что важно для многих прикладных задач, но их разработчики сталкиваются с **проблемой «открытых границ»**.
- **Ассимиляция данных (DA)** – один из перспективных инструментов для решения этой проблемы.
- Рассматриваемый метод состоит в том, чтобы восстановить граничные функции с использованием теории оптимального управления.



Модель гидротермодинамики акваторий с открытыми границами

Запишем в области D систему уравнений гидротермодинамики в приближении Буссинеска и гидростатики ($t \in (0, \bar{t})$):

$$\left\{ \begin{array}{l} \frac{d\vec{u}}{dt} + \begin{bmatrix} 0 & -f \\ f & 0 \end{bmatrix} \vec{u} - g \mathbf{grad} \xi + A_u \vec{u} = \vec{f} - \\ - \frac{1}{\rho_0} \mathbf{grad} P_a - \frac{g}{\rho_0} \mathbf{grad} \int_0^z \rho_1(T, S) dz', \\ \frac{\partial \xi}{\partial t} - m \frac{\partial}{\partial x} \left(\int_0^H u dz \right) - m \frac{\partial}{\partial y} \left(\int_0^H \frac{n}{m} v dz \right) = 0, \\ \frac{dT}{dt} + A_T T = f_T, \quad \frac{dS}{dt} + A_S S = f_S. \end{array} \right. \quad (1)$$

где:

- (λ, θ, z) - географическая (-геодезическая) система координат;
- поверхность моря: $z = \xi(\lambda, \theta, t)$, где $(\lambda, \theta, R) \in \Omega$ (Ω – образ поверхности моря на сфере S_R , R – средний радиус Земли), а t – временная переменная, $t \in [0, \bar{t}]$ ($\bar{t} < \infty$);
- рельеф дна: $z = H(\lambda, \theta)$ при $(\lambda, \theta, R) \in \Omega$;
- $l = l(\theta)$ – Кориолисов параметр, $f(u) = l + mu \sin \theta$;
- $D = \{(\lambda, \theta, z) : (\lambda, \theta, R) \in \Omega, 0 < z < H(\lambda, \theta)\}$.
- (\vec{U}, T, S) – вектор скорости, температура, соленость;
- $A_\varphi \varphi \equiv -\text{Div}(\hat{a}_\varphi \text{Grad} \varphi)$, где
 $\hat{a}_\varphi = \text{diag}((a_\varphi)_{ii})$, $(a_\varphi)_{11} = (a_\varphi)_{22} \equiv \mu_\varphi$, $(a_\varphi)_{33} \equiv \nu_\varphi$;
- $U_n = \vec{U} \cdot \vec{N}$, \vec{N} – внешняя нормаль,
 $U_n^{(+)} \equiv (|U_n| + U_n)/2$, $U_n^{(-)} \equiv (|U_n| - U_n)/2$.

Система (1) дополняется начальными и граничными условиями. Приведем здесь *Граничные условия на $\Gamma_{w,op}$ (на "жидкой части боковой стенки")*:

$$\left\{ \begin{array}{l} \left(\int_0^H \vec{u} dz \right) \vec{n} + \beta_0 m_{op} \sqrt{gH} \xi = m_{op} \sqrt{gH} \mathbf{d}_s \text{ на } \partial\Omega, \\ U_n^{(-)} (\tilde{U} \cdot \vec{N}) + \frac{\partial \tilde{U}}{\partial N_u} \cdot \vec{N} = U_n^{(-)} \mathbf{d}, \quad U_n^{(-)} (\tilde{U} \cdot \tau_w) + \frac{\partial \tilde{U}}{\partial N_u} \cdot \tau_w = 0, \\ U_n^{(-)} T + \frac{\partial T}{\partial N_T} = U_n^{(-)} \mathbf{d}_T + Q_T, \quad U_n^{(-)} S + \frac{\partial S}{\partial N_S} = U_n^{(-)} \mathbf{d}_S + Q_S, \end{array} \right. \quad (2)$$

Пусть интервал $(0, \bar{t})$ разбит на подынтервалы (t_{j-1}, t_j) , $j = 1, 2, \dots, J$, $t_0 = 0$, $t_J > \bar{t}$. Для аппроксимации задачи по времени используется **метод расщепления**. На каждом интервале (t_{j-1}, t_j) решаются следующие подзадачи (*шаги* метода расщепления, см. [4]):

- 1 Задача о распространении тепла.
- 2 Задача конвекции-диффузии для солёности.
- 3 Задача об отыскании функции уровня и баротропных скоростей.
- 4 Вычисление поля векторов скоростей.

Задача ассимиляции данных об уровне

Рассмотрим одну из подзадач с Шага 3 метода расщепления:

$$\left\{ \begin{array}{l} \bar{U}_t + \begin{bmatrix} 0 & -\ell \\ \ell & 0 \end{bmatrix} \bar{U} - g \cdot \mathbf{grad} \xi = \bar{f} \text{ в } \Omega \times (t_{j-1}, t_j), \\ \xi_t - \mathbf{div} (H\bar{U}) = 0 \text{ в } \Omega \times (t_{j-1}, t_j), \\ \bar{U}(t_{j-1}) = \bar{U}_{j-1}, \quad \xi(t_{j-1}) = \xi_{j-1} \text{ в } \Omega, \\ H\bar{U} \cdot \bar{n} + m_{w,op} \sqrt{gH} \xi = m_{w,op} \sqrt{gH} d_s \text{ на } \partial\Omega \times (t_{j-1}, t_j), \end{array} \right. \quad (3)$$

где

$$\bar{U} = \frac{1}{H} \int_0^H \bar{u} dz,$$

$\Gamma_{op} = \partial\Omega \cap \Gamma_{w,op}$, $m_{w,op}$ – характеристическая функция Γ_{op} , d_s – дополнительная неизвестная, $d_s = 0$ на $\partial\Omega \setminus \Gamma_{op}$. Пусть также на некоторой части границы $\partial\Omega$ на интервале времени (t_{j-1}, t_j) имеются данные наблюдений ξ_{obs} за уровнем моря. Обозначим через $\chi_{\xi, \partial\Omega}$ характеристическую функцию множества, где задана ξ_{obs} . Сформулируем условие замыкания:

$$\chi_{\xi, \partial\Omega} \xi = \chi_{\xi, \partial\Omega} \xi_{obs} \text{ на } \partial\Omega \times (t_{j-1}, t_j)$$

Запишем неявную схему аппроксимации задачи (3) на интервале (t_{j-1}, t_j) , $\tau = t_j - t_{j-1}$, по времени. Введем, таким образом, полудискретную задачу

$$\begin{cases} \frac{\bar{U}}{\tau} + \begin{bmatrix} 0 & -\ell \\ \ell & 0 \end{bmatrix} \bar{U} - g \cdot \mathbf{grad} \xi = \tilde{f} \text{ в } \Omega, \\ \frac{\xi}{\tau} - \mathbf{div} (H\bar{U}) = (\bar{F})_3 \text{ в } \Omega, \\ H\bar{U} \cdot \bar{n} + m_{w,op} \sqrt{gH} \xi = m_{w,op} \sqrt{gH} d_s \text{ на } \partial\Omega, \end{cases} \quad (4)$$

Сформулируем теперь задачу оптимального управления, являющуюся приближением к поставленной ранее задаче: найти функцию d_s , доставляющую минимум функционалу:

$$J_\alpha = J_\alpha(d_s, \xi(d_s)) = \frac{\alpha}{2} \int_{\partial\Omega} m_{w,op} \sqrt{gH} (d_s - d_s^{(0)})^2 d\Gamma + \frac{1}{2} \int_{\partial\Omega} \chi_{\xi, \partial\Omega} \sqrt{gH} (\xi - \xi_{obs})^2 d\Gamma,$$

где ξ и d_s удовлетворяют (4).

Для исследования задачи удобно перейти от (4) к уравнению на ξ , исключив \bar{U}

$$\xi/\tau - \mathbf{div}(gHM \mathbf{grad} \xi) = \tilde{F} \text{ в } \Omega, \quad (5)$$

$$gHM \mathbf{grad} \xi \cdot \bar{n} + m_{w,op} \sqrt{gH} \xi = m_{w,op} \sqrt{gH} d_s \text{ на } \partial\Omega. \quad (6)$$

где

$$M = \begin{bmatrix} a & b \\ -b & a \end{bmatrix}, \quad a = \frac{\theta}{\theta^2 + l^2}, \quad b = \frac{l}{\theta^2 + l^2}, \quad \theta = \frac{1}{\tau},$$

Чтобы показать однозначную разрешимость обратной задачи, достаточно показать, что система

$$\begin{cases} \frac{\xi}{\tau} - \operatorname{div}(gHM \operatorname{grad} \xi) = 0 \text{ в } \Omega, \\ gHM \operatorname{grad} \xi \cdot \bar{n} + m_{w,op} \sqrt{gH} \xi = m_{w,op} \sqrt{gH} d_s \text{ на } \partial\Omega, \\ m_{w,op} \xi = 0 \text{ на } \partial\Omega. \end{cases} \quad (7)$$

имеет только тривиальное решение $\xi \in W_2^1(\Omega)$, $d_s \in H_c$. В этом легко убедиться, записав обобщенную форму задачи ($\forall \hat{\xi} \in W_2^1(\Omega)$):

$$\int_{\Omega} \left(gHM \operatorname{grad} \xi \cdot \operatorname{grad} \hat{\xi} + \frac{\xi \hat{\xi}}{\tau} \right) d\Omega + \int_{\partial\Omega} m_{w,op} \sqrt{gH} \xi \hat{\xi} d\Gamma = \int_{\partial\Omega} m_{w,op} \sqrt{gH} d_s \hat{\xi} d\Gamma.$$

$$m_{w,op} \sqrt{gH} \xi = 0 \text{ на } \partial\Omega.$$

Подставляя вместо $\hat{\xi}$ решение задачи ξ , получим:

$$\int_{\Omega} \left(gH a |\operatorname{grad} \xi|^2 + \frac{\xi^2}{\tau} \right) d\Omega = 0$$

Поскольку по предположению H не обращается в ноль ни в одной точке Ω , получим, что $\|\xi\|_{W_2^1(\Omega)} = 0$, а значит и $d_s = 0$.

Аналогичным образом можно убедиться в том, что задача плотно разрешима.

Задачу минимизации функционала J_α можно решать, например, с помощью метода градиентного спуска, который будет иметь вид следующего итерационного процесса:

$$\begin{cases} \frac{\bar{U}_k}{\tau} + \begin{bmatrix} 0 & -\ell \\ \ell & 0 \end{bmatrix} \bar{U}_k - g \cdot \mathbf{grad} \xi_k = \tilde{f} \text{ в } \Omega, \\ \frac{\xi_k}{\tau} - \mathbf{div} (H\bar{U}_k) = (\bar{F})_3 \text{ в } \Omega, \\ H\bar{U}_k \cdot \bar{n} + m_{w,op} \sqrt{gH} \xi_k = m_{w,op} \sqrt{gH} (d_s)_k \text{ на } \partial\Omega, \end{cases} \quad (8)$$

$$\begin{cases} \frac{\hat{U}_k}{\tau} - \begin{bmatrix} 0 & -\ell \\ \ell & 0 \end{bmatrix} \hat{U}_k + g \cdot \mathbf{grad} \hat{\xi}_k = 0 \text{ в } \Omega, \\ \frac{\hat{\xi}_k}{\tau} + \mathbf{div} (H\hat{U}_k) = 0 \text{ в } \Omega, \\ -H\hat{U}_k \cdot \bar{n} + m_{w,op} \sqrt{gH} \hat{\xi}_k = m_{w,op} \sqrt{gH} (\xi_k - \xi_{obs}) \text{ на } \partial\Omega, \end{cases} \quad (9)$$

$$\tau_k = \frac{J_\alpha}{\|J'_\alpha\|^2} = \frac{\int_{\Gamma_{obs}} \sqrt{gH} (\xi - \xi_{obs})^2 d\Gamma}{\int_{\Gamma_{op}} gH \hat{\xi}^2 d\Gamma},$$

$$(d_s)_{k+1} = (d_s)_k + \tau_k \sqrt{gH} \left(\alpha((d_s)_k - d_s^{(0)}) + \hat{\xi}_k \right). \quad (10)$$

Данные наблюдений и проблема практической реализации алгоритма

Спутниковые данные

- доступны в точке пересечения «жидкой» границы с треком спутника (1-2 за сутки);
- DUACS DT2014 (Data Unification and Altimeter Combination System, delayed time): данные об аномалиях уровня и динамической топографии, полученные по данным спутниковой альтиметрии. Данные поступают со спутников Jason-3, Sentinel-3A, HY-2A, Saral/AltiKa, Cryosat-2, Jason-2, проходят несколько этапов обработки и размещаются на сайте [8] спустя несколько месяцев после даты измерений.

Данные наблюдений и проблема практической реализации алгоритма

Данные с уровнемерных постов

- доступны почти в любой момент времени, **но** в определенных точках на берегу;
- данные центра INSTAC (In Situ Thematic Assembly Centre): центр собирает данные, предоставляемые организациями-членами BOOS (Baltic Operational Oceanographic System). В работе были использованы данные с уровнемерного поста Skagen (Дания) и данные института SMHI (Swedish Meteorological and Hydrological Institute). БД обновляется ежедневно, но данные поступают с задержкой в несколько месяцев.

Результаты численных экспериментов

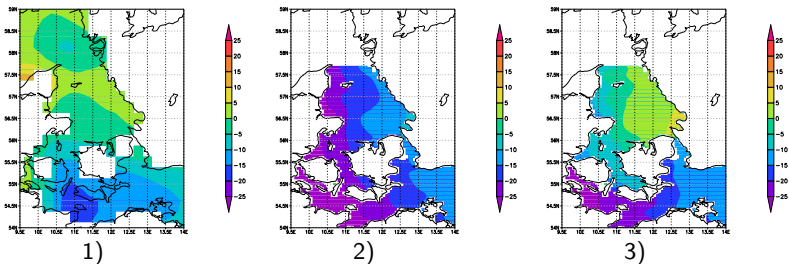


Рис. 1 : Уровень моря среднесуточный (см) при $T = 3$ дня (03/03/2017): 1) данные наблюдений (спутниковые, DUACS DT2014); 2) расчет без ассимиляции; 3) расчет с использованием ассимиляции.

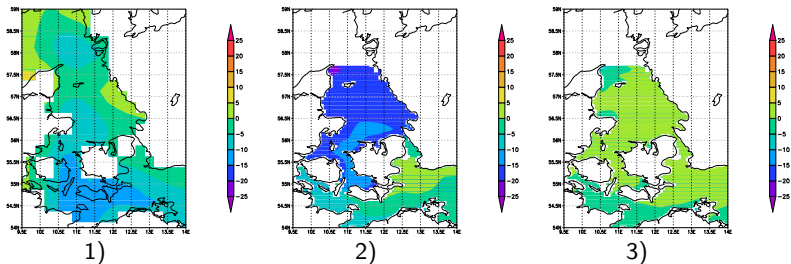


Рис. 2 : Уровень моря среднесуточный (см) при $T = 4$ дня (04/03/2017): 1) данные наблюдений (спутниковые, DUACS DT2014); 2) расчет без ассимиляции; 3) расчет с использованием ассимиляции.

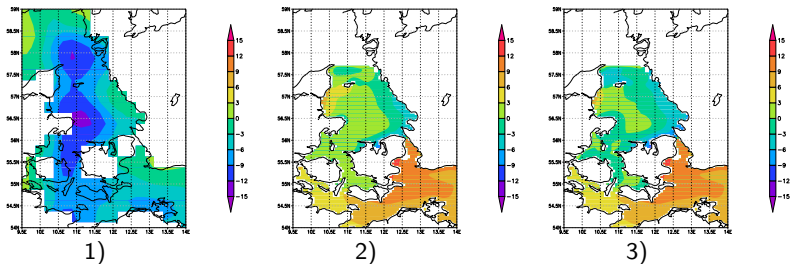


Рис. 3 : Уровень моря среднесуточный (см) при $T = 5$ дней (05/03/2017): 1) данные наблюдений (спутниковые, DUACS DT2014); 2) расчет без данных ($d_s = 0$); 3) расчет с использованием ассимиляции.

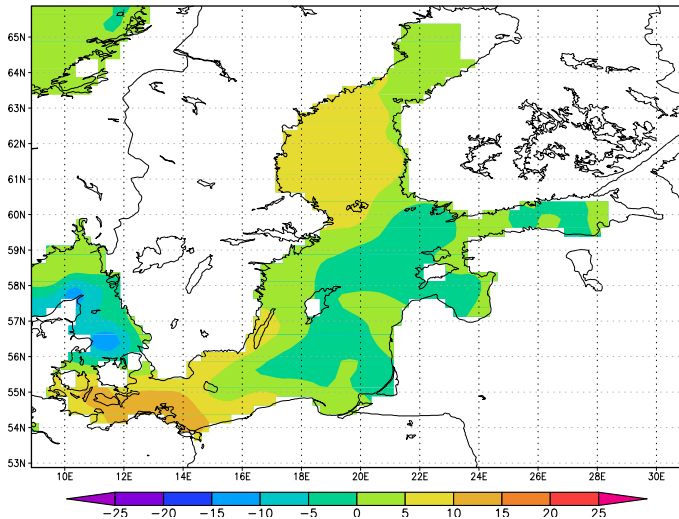


Рис. 4 : Уровень моря среднесуточный (см) по данным со спутников на 10/03/2017

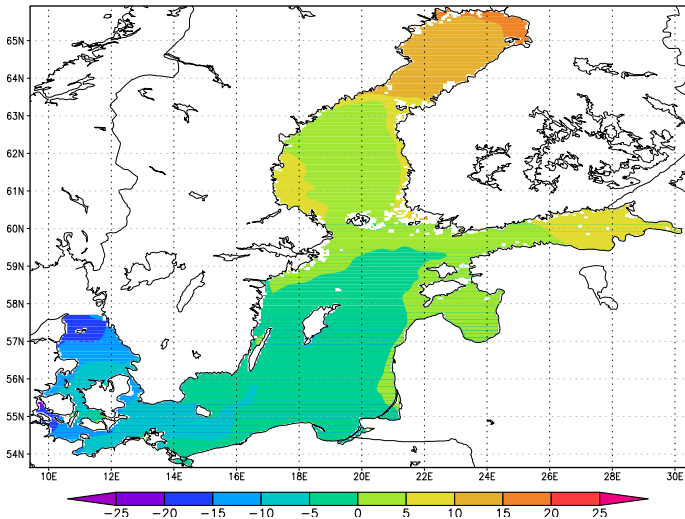


Рис. 5 : Уровень моря среднесуточный (см), расчет по модели без блока ассимиляции на 10/03/2017

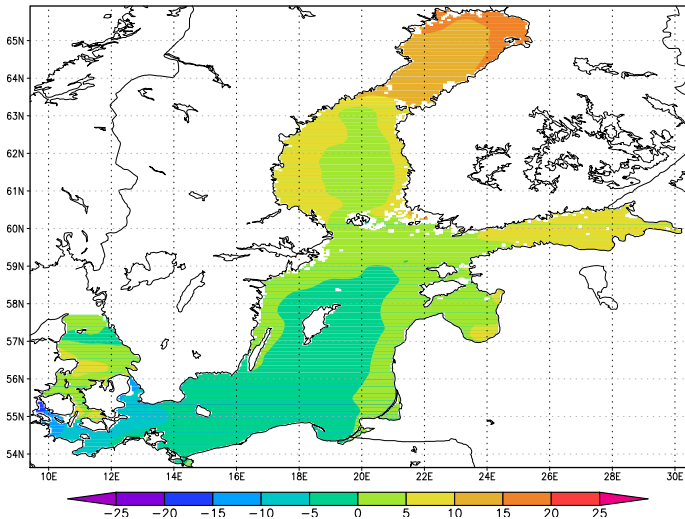
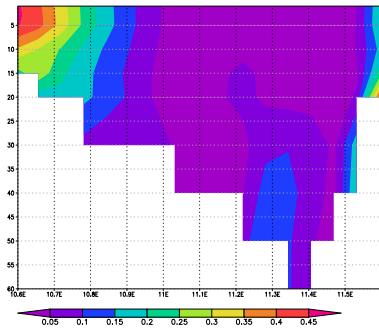
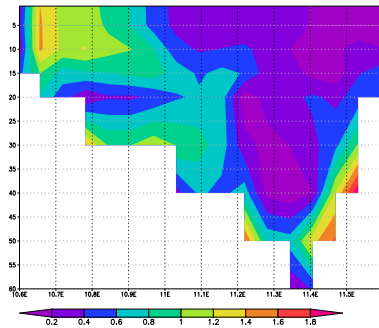


Рис. 6 : Уровень моря среднесуточный (см), расчет по модели с ассимиляцией на 10/03/2017



1)



2)

Рис. 7 : Модуль разности температуры ($^{\circ}\text{C}$), разрез по глубине, по $\Gamma_{w,op}$ (“жидкой” границе) 1) 48 часов от начала расчета ; 2) 6 суток от начала расчета.

При попытке практической реализации алгоритма были выявлены следующие трудности:

- 1 Малое количество данных об уровне на «жидкой» границе. Возможный выход – статистический анализ данных об аномалиях уровня за много лет и попытка построения метода интерполяции данных на основе результатов статистического анализа.
- 2 Данные поступают с задержкой, следовательно ими нельзя воспользоваться в задачах оперативного прогноза морской среды.

Список основных публикаций

- 1 *Zalesny V. B., Gusev A. V., Chernobay S. Yu., Aps R., Tamsalu R., Kujala P., Rytkönen J.* The Baltic Sea circulation modelling and assessment of marine pollution // Russ. J. Numer. Anal. Math. Modelling, 2014, Vol.29, No. 2, pp. 129-138.
- 2 *Агошков В.И.* Избранные труды. В 5 т. Т.3. Методы решения обратных задач и задач вариационной ассимиляции данных наблюдений в проблемах крупномасштабной динамики океанов и морей / В.И. Агошков. – М.: ИВМ РАН, 2016, 192 с.
- 3 *Дементьева Е. В., Каропова Е. Д., Шайдуров В. В.* Восстановление граничной функции по данным наблюдений для задачи распространения поверхностных волн в акватории с открытой границей // Сибирский журнал индустриальной математики. 2013. Т. 16, № 1. С. 10-20.
- 4 *Agoshkov V.I.* Statement and study of some inverse problems in modelling of hydrophysical fields for water areas with 'liquid' boundaries // RJNAMM, 2017. V. 32, No. 2. P. 73-90.
- 5 *Agoshkov V.I., Sheloput T.O.* The study and numerical solution of some inverse problems in simulation of hydrophysical fields in water areas with 'liquid' boundaries // RJNAMM, 2017. V.32, No. 3. P. 147-164.
- 6 *Agoshkov V.I.* Inverse problems of the mathematical theory of tides: boundary-function problem // RJNAMM, 2005. V. 20, No. 1. P. 1-18.
- 7 *Pujol M.-I.* DUACS DT2014: the new multi-mission altimeter data set reprocessed over 20 years / Pujol M.-I., Faugère Y., Taburet G., Dupuy S., Pelloquin C., Ablain M., Picot N. // Ocean Science, 2016. V. 12. P. 1067-1090.
- 8 Copernicus Marine Environment Monitoring Service. URL: <http://marine.copernicus.eu/>. Дата обращения: 24.11.2017.